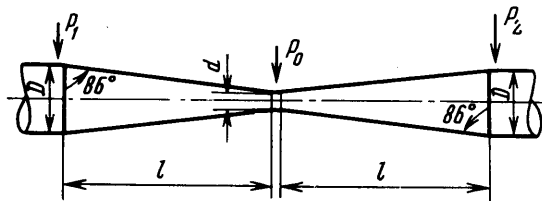


**ВЛИЯНИЕ СНИЖАЮЩИХ СОПРОТИВЛЕНИЕ ТРЕНИЯ ПОЛИМЕРНЫХ ДОБАВОК НА ТЕЧЕНИЕ В ПЛАВНО СУЖАЮЩИХСЯ И РАСПИРЯЮЩИХСЯ КАНАЛАХ**

Б. В. ЛИПАТОВ

(Москва)

Пристеночные вихревые образования и их последующий распад являются источниками турбулизации потока [1, 2]. Их интенсивность у гладких стенок зависит от величины и знака продольного градиента давления [1]. При существенных величинах отрицательного градиента давления возникновение вихрей не наблюдается. В ряде работ, например, [3] отмечается особое значение вихрей переходного слоя в явлении снижения сопротивления трения полимерными добавками. В работе были экспериментально исследованы течения с отрицательными и положительными гра-



Фиг. 1

диентами давления. Получены данные, свидетельствующие о том, что течение слабых растворов полимеров при отрицательных градиентах давления не отличается от течения ньютоновских жидкостей, тогда как при положительных градиентах в полной мере обнаруживается влияние полимерных добавок.

1. В опыте через специальный канал, схема проточной части которого приведена на фиг. 1, прокачивалась вода и водные растворы полимеров. Конфузор и диффузор канала имели одинаковые углы раскрытия  $\alpha/2=4^\circ$  и длины, равные 250 мм. При такой геометрии потока для ньютоновских жидкостей еще не наблюдается отрыва пограничного слоя от стенок. Между конфузором и диффузором имелась цилиндрическая часть канала длиной 3 мм и диаметром 6 мм. Вход и выход этой части канала плавно сопрягались с конфузором и диффузором, что позволило пренебречь потерями напора в ней и считать, что давление  $P_0$  (фиг. 1) соответствует давлению в конце конфузора или в начале диффузора. Вниз по потоку за диффузором размещался участок прямой гладкой трубы диаметром 10 мм и  $l/d=100$ , на котором контролировалось изменение эффекта снижения сопротивления в процессе опытов с конфузором и диффузором.

Расход жидкостей измерялся одновременно объемным способом и предварительно тарированной трубой Вентури. В обоих случаях максимальная относительная ошибка измерения расхода не превышала  $\pm 0.75\%$ . Потери напора измерялись дифференциальным манометром с миллиметровой шкалой. В качестве рабочей жидкости для манометров в зависимости от величины измеряемых потерь напора применялись либо ртуть, либо четыреххлористый углерод.

В качестве полимерных добавок использовались гуаровая смола (J2-FP) и полиоксиэтилен (Polyox WSR-301) в различных концентрациях.

2. Для исследуемого потока в предположении, что потери на трение в короткой цилиндрической части канала пренебрежимо малы, уравнение Бернулли имеет вид

$$P_1/\gamma + V^2/2g = P_0/\gamma + v^2/2g + h_1 = P_2/\gamma + V^2/2g + h_1 + h_2$$

Здесь  $h_1$  и  $h_2$  — потери на трение в конфузоре и диффузоре,  $V$  и  $v$  — средние скорости в широком и узком сечениях потока,  $P_1$ ,  $P_0$ ,  $P_2$  — гидродинамические давления в соответствующих сечениях потока (фиг. 1).

Отсюда

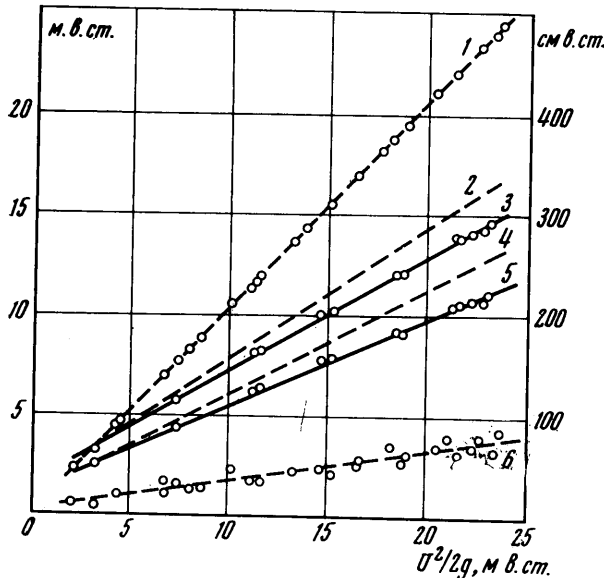
$$h_1 = (P_1 - P_0)\gamma^{-1} - [1 - (d/D)^4]v^2/2g, \quad h_2 = (P_0 - P_2)\gamma^{-1} + [1 - (d/D)^4]v^2/2g,$$

$$h_{12} = h_1 + h_2 = (P_1 - P_2)\gamma^{-1}$$

В опытах измерялись величины:  $(P_1 - P_0)\gamma^{-1}$ ,  $(P_2 - P_0)\gamma^{-1}$ ,  $(P_1 - P_2)\gamma^{-1}$  и  $Q = \frac{1}{4}\pi D^2 V = \frac{1}{4}\pi d^2 v$ .

На фиг. 2 приведены зависимости величины  $(P_1 - P_2) \gamma^{-1}$  (кривая 1) с масштабом ординат м.в.ст.,  $h_{12}$  (кривые 2, 3),  $h_2$  (кривые 4, 5), и  $h_1$  (кривая 6) с масштабами ординат см.в.ст. от скоростного напора  $v^2/2g$  для воды и гуаровой смолы с концентрацией  $c=3 \cdot 10^{-4}$ . Опытные точки для раствора полимера обозначены кружками, а для воды показаны пунктирными кривыми.

Как показывает фиг. 2, падение статического напора  $(P_1 - P_0) \gamma^{-1}$  и потери на трение  $h_1$  в конфузоре хорошо аппроксимируются соответствующими кривыми для воды. Это свидетельствует об отсутствии влияния полимерной добавки на поток в конфу-



Фиг. 2

зоре. В то время как общие потери в канале  $h_{12}$  и потери в диффузоре  $h_2$  меньше потерь для воды во всем диапазоне изменения динамического напора. Отметим, что судя по данным измерений в мерной цилиндрической трубе, деградации эффекта снижения сопротивления при повторных опытах с гуаровой смолой не наблюдалось.

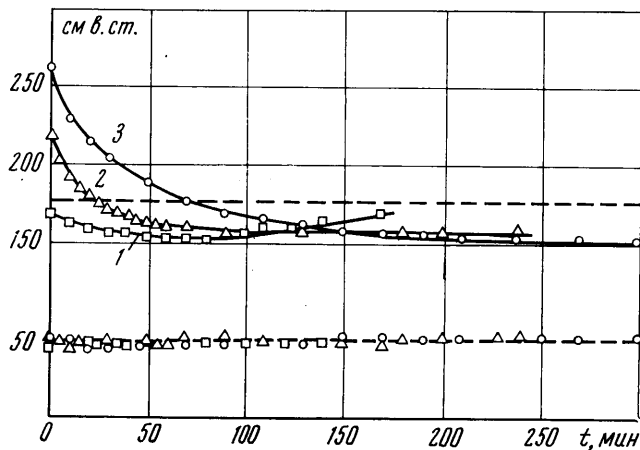
3. Опыты с добавками полиоксиэтилена в связи с существенной деградацией эффекта воздействия этого полимера на поток проводились при постоянном расходе и прослеживалось изменение потерь во времени. Такие опыты повторялись для разных значений расхода и концентраций полимера. Поддержание заданной величины расхода для каждого случая достигалось непрерывной регулировкой режима движения жидкости в контуре установки. Для всех исследованных значений концентрации раствора и его расхода, а следовательно, и скоростного напора  $v^2/2g$ , были получены сходные результаты. Поэтому в качестве примера на фиг. 3 приведены результаты лишь одной серии опытов при  $v^2/2g=15.4$  м²/с². На этой фигуре опытные точки, относящиеся к раствору полимера, обозначены квадратами ( $c=3 \cdot 10^{-5}$ ), треугольниками ( $c=10^{-4}$ ) и кружками ( $c=3 \cdot 10^{-4}$ ). Для потерь в диффузоре через опытные точки проведены кривые 1, 2, 3. Потери в конфузоре аппроксимируются кривой для воды, данные для которой показаны прерывистыми линиями, внизу для конфузора и вверху для диффузора.

Графики фиг. 3 показывают, что так же как и для гуаровой смолы, добавка полиоксиэтилена не оказывает влияния на течение в конфузоре. В диффузоре же имеет место снижение сопротивления. Можно видеть, что потери в диффузоре достигают со временем некоторого минимума и затем, по мере деградации эффекта, увеличиваются. Для малых концентраций (кривая 1 на фиг. 3) уже за время течения, реализуемое в данной установке, они становятся близкими к потерям для воды.

4. Максимальное снижение полного сопротивления в диффузоре для раствора полиоксиэтилена и в полностью идентичных условиях для раствора гуаровой смолы  $\sim 12$  и  $8\%$  соответственно, в то время как в мерной трубе снижение сопротивления  $\sim 50\%$  для обоих растворов, т. е. существенно больше, чем в диффузоре. Однако если принять, что на ядро потока в диффузоре добавки полимеров не оказывают влияния и что потери на трение в исследованном диффузоре составляют  $\sim 25\%$  от полных потерь, то снижение трения в нем становится вполне сопоставимым со снижением сопротивления в цилиндрической трубе.

Следовательно, влияние полимерных добавок на сопротивление трения при безотрывном течении в расширяющемся канале проявляется в полной мере в отличие от сужающегося канала, где их влияние на поток не обнаруживается. Но в таком потоке не наблюдаются и вихри переходного слоя. Эти результаты свидетельствуют в пользу того, что при движении у гладкой стенки эффект снижения сопротивления возникает благодаря воздействию полимерных добавок на генерацию и распад пристеночных вихрей.

Наблюдавшаяся в начале опыта с растворами полиоксиэтилена большая величина потерь по сравнению с потерями для воды (для приведенных здесь случаев на  $\sim 50\%$



Фиг. 3

при  $c=3 \cdot 10^{-4}$  и на  $\sim 25\%$  при  $c=10^{-4}$ ) может быть связана с существенными изменениями режима течения под влиянием континуальных вязкоупругих свойств свежих растворов этого полимера (появление вторичных течений и др.). Но исследование этих явлений в данной работе не проводилось.

В заключение автор благодарит В. Н. Калашникова за обсуждение работы.

Поступила 15 XII 1972

#### ЛИТЕРАТУРА

1. Kline S. J., Reynolds W. C., Schraub F. A., Runstadler P. W. The structure of turbulent boundary layers. *J. Fluid Mech.*, 1967, vol. 30, pt 4.
2. Corino E. R., Brodkey R. S. A visual investigation of the wall region in turbulent flow. *J. Fluid Mech.*, 1969, vol. 37, pt 1.
3. Баренблатт Г. И., Городцов В. А., Калашников В. Н. Турбулентность аномальных жидкостей. Тепло- и массоперенос, т. 3. Минск, 1968.

УДК 532.501.32

#### ПРОНИКАНИЕ КЛИНА В СЖИМАЕМУЮ ЖИДКОСТЬ

В. Б. ПОРУЧИКОВ

(Москва)

В линейной постановке решена плоская задача о симметричном входе с постоянной скоростью тупого жесткого клина в идеальную сжимаемую жидкость с учетом подъема свободной поверхности. Основные результаты решения этой задачи для случая несжимаемой жидкости получены в [1-8]. При больших скоростях входа и (или) для достаточно затупленных тел необходимо учитывать сжимаемость жидкости. Случаи проникания тонких<sup>1</sup> и тупых клиньев в линейной постановке рассматривались в [9, 10]. В частности, в [9] было получено решение задачи о проникании тупого

<sup>1</sup> Григорян С. С. Некоторые задачи гидродинамики тонких тел. Канд. дисс., МГУ, 1956.